

مقایسه الگوریتم سبال با مدل SWAP و روش های محاسباتی جهت تعیین تبخیر و تعرق

مصطفی یعقوب زاده^{۱*}، زهرا ایزدپناه^۲، سعید برومند نسب^۳ و حسام سید کابلی^۴

- ۱- نویسنده مسئول، دانش آموخته دکترای آبیاری و زهکشی، دانشکده مهندسی علوم آب، دانشگاه شهید چمران اهواز.
- ۲- استادیار گروه آبیاری و زهکشی، دانشکده مهندسی علوم آب، دانشگاه شهید چمران اهواز.
- ۳- استاد گروه آبیاری و زهکشی، دانشکده مهندسی علوم آب، دانشگاه شهید چمران اهواز.
- ۴- استادیار گروه عمران دانشگاه صنعتی جندي شاپور Dezful.

تاریخ پذیرش: ۹۴/۳/۵

تاریخ دریافت: ۹۳/۹/۱۵

چکیده

تعیین مقدار دقیق تبخیر و تعرق در اراضی تحت آبیاری برای برنامه ریزی تخصیص آب، بهینه سازی تولید محصول، مدیریت آبیاری و ارزیابی اثر تغییر کاربری روی راندمان آب ضروری است. بدین منظور در این تحقیق، تبخیر و تعرق با سه نوع روش مختلف سنجش از دور، مدل اگروهیدرولوژیکی و روش های محاسباتی برای مزرعه ذرت واقع در دشت نیشابور محاسبه گردید. الگوریتم بیلان انرژی سطح برای زمین(سبال) و تصاویر سنجنده مودیس در طی دوران رشد، مدل اگرو هیدرولوژیکی SWAP و روش های محاسباتی فائق پنمن مانتیث، هارگریوز سامانی و فائق بلانی کریدل روش های تعیین تبخیر و تعرق در این تحقیق می باشند. ضرایب همبستگی ۰/۶۷ تا ۰/۹۱ بین الگوریتم سبال با مدل SWAP و روش های محاسباتی نشان داد که الگوریتم سبال قابلیت بالایی در تخمین تبخیر و تعرق دارد. در بین روش های تعیین تبخیر و تعرق پتانسیل نیز فائق بلانی کریدل نتایج بهتری نسبت به دو روش پنمن مانتیث و هارگریوز سامانی ارائه نمود. همچنین این تحقیق مشخص کرد که می توان از الگوریتم سبال برای تعیین تبخیر و تعرق در مناطق با کمبود داده و برای ارزیابی روش های محاسباتی و مدل های هیدرولوژیکی استفاده نمود.

کلید واژه ها : تبخیر و تعرق، الگوریتم سبال، مدل SWAP، روش های محاسباتی، سنجش از دور.

The Comparison of SEBAL Algorithm with SWAP Model and Computational Method to Determine Evapotranspiration

M. Yaghoobzadeh^{1*}, Z. Izadpanah², S. Boromand- Nasab³ and H. Seyed Kaboli⁴

1*- PhD Student, Water Sciences Engineering Faculty, Shahid Chamran University of Ahvaz, Iran.

2- Assistant Professor of Irrigation and Drainage, Shahid Chamran University of Ahvaz,Iran.

3- Professor of Irrigation and Drainage, Shahid Chamran University of Ahvaz,Iran.

4- Assistant professor, Department of Civil Engineering, Jondishapur University of Dezful, Iran.

Received:6 December 2014

Accepted: 26 May 2015

Abstract

Accurate quantification of ET in irrigated agricultural lands is crucial for planning for water allocation, optimizing crop production irrigation management, evaluating the effects of changing land use on water yields. For this purpose in the research, evapotranspiration calculated by three kind of different methods remote sensing, agro-hydrological model and computational method for maize field located in Neyshabour plain. Methods of evapotranspiration determination consist of Surface Energy Balance Algorithm for Land (SEBAL) algorithm and Modis product satellite in the long of during growth, SWAP agro-hydrological and computational methods of FAO Penman-Monteith and Hargreaves-Samani and FAO Blany Criddle. Correlation coefficient 0.67 to 0.91 between SEBAL algorithm with SWAP model and computational method showed high potential for SEBAL algorithms in the evapotranspiration estimation. In between methods for

potential evapotranspiration determination, FAO Blany Criddle method has better result in comparison with Penman-Monteith and Hargreaves-Samani methods. Also, this study found that the SEBAL algorithm could be used to determine evapotranspiration in areas with shortages of data and for evaluation of computational methods and hydrological models.

Keywords: Evapotranspiration, SEBAL algorithm, SWAP model, Computational methods, Remote sensing.

گرفتند ایرماک و بابوراؤ^۳ (۲۰۰۹). میناکاپیلی و همکاران^۴ در مطالعه ای در راستای اهداف این تحقیق از الگوریتم های سنجش از دور سبال و TSEB برای تخمین تبخیر و تعرق واقعی استفاده نموده و برای ارزیابی آن از مدل SWAP صحبت سنجی شده استفاده نمودند. پالادینو و همکاران^۵ (۲۰۱۳) سینگ و همکاران^۶ (۲۰۱۰) از الگوریتم SEBS و تصاویر ماهواره NOAA AVHRR برای تعیین تبخیر و تعرق واقعی و مقایسه آن با نتایج SWAP استفاده کردند و به این نتیجه رسیدند می توان با دقت قابل قبول از مدل SWAP برای شبیه سازی نیاز آبی گیاهان و رطوبت خاک استفاده کرد(ترینیک و همکاران^۷، ۲۰۱۳) چارونایرونینگیوس و همکاران^۸ (۲۰۱۱) به کمک تبخیر و تعرق و شاخص سطح برگ (LAI) بدست آمده از سبال و به روش مهندسی معکوس، پارامترهای هیدرولیکی خاک ورودی به مدل SWAP را بهینه کردند تا بدین وسیله اختلاف شاخص سطح برگ و رطوبت خاک اندازه گیری شده در مزرعه با مقادیر شبیه سازی شده با مدل SWAP به حداقل برسد. نتایج نشان دهنده توافق خوب بین تبخیر و تعرق و شاخص سطح برگ حاصل از سبال و رطوبت حاصل از SWAP با مقادیر اندازه گیری شده در اعمق ۲۸ سانتی متر و ۶۰ سانتی متر دارد. پالادینو و همکاران (۲۰۱۳) نیز از مدل SWAP و الگوریتم TSEB روش کواریانس گردابی برای مشخص شدن تنفس آب در محصولات باغی استفاده نمودند(پاتل و همکاران^۹، ۲۰۰۶). در داخل کشور نیز محمدی و همکاران^{۱۰} (۱۳۹۳) برای واسنجی مدل SWAP از ۱۲ تصویر ماهواره ندست ۷ ETM+ در طی فصل رشد گیاه نیشکر استفاده نمودند و تبخیر و تعرق به دست آمده را برای برنامه ریزی آبیاری به کار برdenد. همچنین به طور معمول در مناطق با کمبود داده برای ارزیابی الگوریتم های سنجش از دور از روش های محاسباتی استفاده می شود که در تحقیقات متعدد استفاده از این مدل های محاسباتی در آن مناطق به تایید رسیده است(آلن و همکاران^{۱۱}، ۲۰۰۲). قمرنیا و رضوانی^{۱۲} نتایج الگوریتم سبال در دشت

مقدمه

تبخیر و تعرق به عنوان فاکتور کلیدی در تعیین بیلان آب و محاسبه مقدار آب مورد نیاز برای مصرف آبیاری از اهمیت قابل توجهی در مطالعات آبیاری، منابع آب و محیط زیست برخوردار می باشد. از این رو مدل ها و روش های مختلفی برای تعیین تبخیر و تعرق ارائه شده اند که بعضی از این روش ها مانند لایسیمترهای وزنی یا نسبت باون به طور مستقیم در داخل مزرعه تبخیر و تعرق واقعی را برآورد می کنند که استفاده از این وسائل دقیق اندازه گیری پرهزینه و احتیاج به زمان زیادی دارد. مدل های هیدرولوژیکی مانند مدل SWAP نیز شبیه سازی تبخیر و تعرق را به کمک اطلاعات زراعی و هواشناسی و براساس معادله بیلان آب انجام می دهند(دروگرز و همکاران^{۱۳}، ۲۰۰۰). روش های محاسباتی مانند پمن مانتیث نیز از راه های تعیین تبخیر و تعرق می باشند که در این روش ها، ابتدا می توان تبخیر و تعرق پتانسیل را محاسبه و در مرحله بعد به کمک ضرایب گیاهی، تبخیر و تعرق گیاه را تعیین کرد. ولی همه این روش ها در یک نقطه و یا حداکثر در سطح یک مزرعه، تبخیر و تعرق را برآورد می کنند و امکان استفاده از این روش ها در نقاط کوهستانی و در مکان هایی که امکان اندازه گیری دقیق تبخیر و تعرق مورد نیاز می باشد، وجود ندارد. با گسترش استفاده از سنجش از دور و به کاربردن تصاویر ماهواره ای در مطالعات مختلف منابع آب، امکان تعیین تبخیر و تعرق نیز به وجود آمد که الگوریتم های مختلفی به مرور ارائه شد که تبخیر و تعرق واقعی را در مقیاس مکانی و زمانی پنهان بندی می کنند. الگوریتم سبال یکی از مدل های است که در نقاط مختلف بکار برده شده و به نتایج رضایت بخشی منجر شده است تا حدی که بعضی از محققان به دلایل نبود داده های اندازه گیری در مزارع برای واسنجی کردن مدل از تصاویر ماهواره ای و الگوریتم سبال به منظور واسنجی و صحبت سنجی مدل سبال استفاده نمودند(دروگرز و باستیانس^{۱۴}، ۲۰۰۲). دروغرز و همکاران (۲۰۱۰) به منظور تعیین نیاز آبیاری، تبخیر و تعرق واقعی را با مدل SWAP و ابزار بهینه ساز PEST محاسبه نموده و برای ارزیابی آن از الگوریتم SEBAL استفاده نمودند. آنها برای این منظور از شبیه سازی مهندسی معکوس و شبیه رو به جلو-عقب مانده استفاده نمودند و صحبت درصد نیاز آبیاری را نتیجه

3 - Irmak and Baburao

4- Minacapilli *et al.*

5 - Palladino *et al.*

6-Singh *et al.*

7 - Terink *et al.*

8- Charoenvirunyings *et al.*

9 - Patel *et al.*

10 - Allen *et al.*

1 - Droogers *et al*

2- Droogers and Bastiaanssen

محصول ذرت تابستانه استفاده شده است. به دین منظور و برای تعیین تبخیر و تعرق واقعی از ۱۳ تصویر سنجنده مودیس ماهواره SWAP برای شبیه سازی رطوبت و تبخیر و تعرق استفاده شده است. تصاویر مودیس برای یک دوره رشد محصول ذرت و از بین روزهایی انتخاب شده است که هیچ گونه ابری منطقه را پوشانده نباشد. روزهای ژولیوسی از تصاویر ماهواره ای در طی دوره رشد ذرت انتخاب شده است که به همراه فاصله نسبت به روز اول کشت در جدول (۱) نشان داده شده است. روزهای ژولیوسی به روزهایی از سال میلادی گفته می‌شود که از ابتدای سال شروع شده و بدون توجه به ماه تا پایان سال میلادی شماره گزاری می‌شود. دوره رشد گیاه ذرت این تحقیق، یک دوره ۱۱۰ روزه است که از ۲۹ ژوئن (۱۳۸۷ تیرماه ۲۰۰۸) شروع شده و تا ۱۶ اکتبر (۲۰۰۸ مهرماه ۱۳۸۷) ادامه می‌یابد. مزرعه انتخابی ذرت در روستای فاروب شهرستان نیشابور انتخاب شده است و داده‌های رطوبت خاک به کمک رطوبت سنج TDR در سه تکرار در طی رشد محصول (قبل و بعد هر نوبت آبیاری) اندازه گیری شده است. از این داده‌های رطوبت در کالیبراسیون مدل SWAP و برای شبیه سازی دقیق تر تبخیر و تعرق واقعی و ارزیابی مدل سیال استفاده شده است. نرم افزارهای ARC GIS 10.2 برای تهیه نقشه خروجی، ERDAS 9.1 برای ویرایش تصاویر ماهواره ای و همچنین ساختن مدلول هایی برای محاسبه پارامترهای الگوریتم سیال استفاده شده است. همچنین نرم افزار Ref ET محاسباتی محاسبه می‌نماید.

میان دریند واقع در غرب ایران را با روش فائو پنمن مانیث مقایسه کرده و همبستگی ۸۴٪ بین نتایج دو مدل را به دست آورده‌اند.

در این تحقیق نیز سعی شد تا از سه نوع مختلف روش تبخیر و تعرق استفاده و بین نتایج این روش‌ها ارزیابی صورت گیرد و لزوم استفاده از تصاویر ماهواره ای و سنجش از دور برای تعیین تبخیر و تعرق در مناطق با کمیود داده و یا مناطق وسیع تایید شود. مدل کالیبره شده SWAP به عنوان مرجع و روش‌های محاسباتی فائو پنمن-مانیث، هارگریوز-سامانی و فائوبلانی کریدل، درستی کارایی توزیع زمانی و مکانی تبخیر و تعرق با الگوریتم سیال را محقق می‌نمایند.

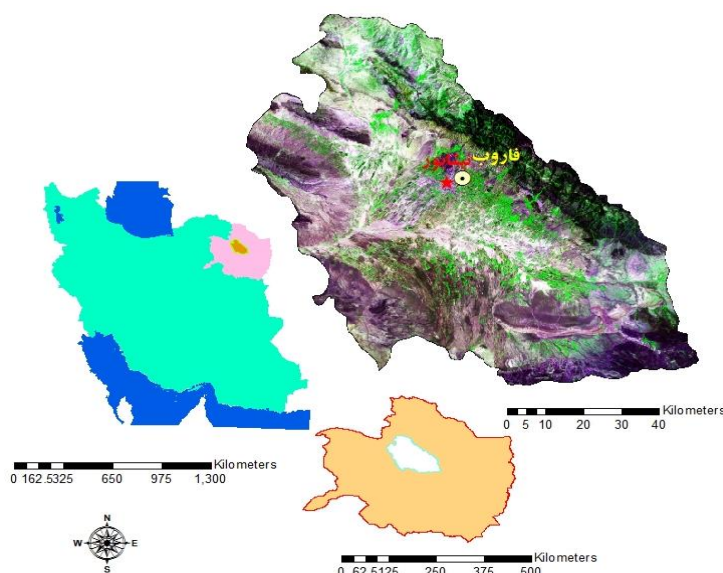
مواد و روش‌ها

منطقه مورد مطالعه

منطقه مورد تحقیق در این پژوهش، دشت نیشابور می‌باشد که از نظر موقعیت جغرافیایی در حد فاصل ۳۰° تا ۵۹° عرض شمالی قرار دارد و طول شرقی و ۴۰° تا ۳۵° طول شرقی دارد. آب و هوای منطقه نیمه خشک و خشک، متوسط دمای آن ۱۲ درجه سانتی گراد و میزان بارندگی سالیانه آن بطور متوسط برای کل دشت ۲۹۲ میلی متر می‌باشد (شکل ۱).

داده‌های مورد استفاده

در این مطالعه از داده‌های هواشناسی ایستگاه سینوپتیک نیشابور و داده‌های رطوبت اندازه گیری شده در مزرعه برای



شکل ۱- تصویر لندست منطقه مورد مطالعه به همراه موقعیت آن در استان و کشور

یعقوب زاده و همکاران: مقایسه الگوریتم سبال با مدل SWAP و روش های...

جدول ۱- مشخصات تصاویر ماهواره ای مورد استفاده در تحقیق

شماره تصویر	روز ژولیوسی	اساس زمان گینویج	ساعت اخذ داده بر	تاریخ میلادی	تاریخ شمسی	روز از شروع فصل رشد ذرت در منطقه
۱	۱۸۱	۷:۳۰ صبح	۳۰-Jun-2008	۱۳۸۷ تیر ۹		
۵	۱۸۵	۷:۰۵ صبح	04-Jul-2008	۱۳۸۷ تیر ۱۳		
۸	۱۸۸	۷:۳۵ صبح	07-Jul-2008	۱۳۸۷ تیر ۱۶		
۱۴	۱۹۴	۷:۰۰ صبح	13-Jul-2008	۱۳۸۷ تیر ۲۲		
۱۷	۱۹۷	۷:۳۰ صبح	16-Jul-2008	۱۳۸۷ تیر ۲۵		
۱۸	۱۹۸	۶:۳۵ صبح	17-Jul-2008	۱۳۸۷ تیر ۲۶		
۲۰	۲۰۰	۶:۲۰ صبح	19-Jul-2008	۱۳۸۷ تیر ۲۸		
۲۵	۲۰۵	۶:۴۰ صبح	24-Jul-2008	۱۳۸۷ مرداد ۲		
۳۲	۲۱۲	۶:۴۵ صبح	31-Jul-2008	۱۳۸۷ مرداد ۹		
۴۸	۲۲۸	۶:۴۵ صبح	16-Aug-2008	۱۳۸۷ مرداد ۲۵		
۶۰	۲۴۰	۷:۱۰ صبح	28-Aug-2008	۱۳۸۷ شهریور		
۸۴	۲۶۴	۶:۲۰ صبح	21-Sep-2008	۱۳۸۷ شهریور ۳۰		
۹۷	۲۷۷	۷:۳۰ صبح	04-Oct-2008	۱۳۸۷ مهر ۱۲		

SWAP مدل

SWAP یک مدل اگر و هیدرولوژیکی بسیار جامع برای انتقال آب، گرما و املاح در محیط اشباع و غیر اشباع است و شامل زیرمدل های فیزیکی برای شبیه سازی عملیات آبیاری و رشد گیاه و بیلان آبی می باشد(وان دم و همکاران^۳). شرایط مزی با لتوسط تبخیر و تعرق، آبیاری و بارندگی و تبخیر و تعرق پتانسیل بر اساس داده های هواشناسی روزانه و با استفاده از معادله فائق پنمن مانتبث محاسبه می گردد. بررسی حرکت آب براساس معادله ریچاردز^۳ صورت می گیرد که از روش عددی تفاضل محدود و اعمال شرایط مزی و توابع هیدرولوژیکی خاک استفاده می گردد. توابع هیدرولوژیکی خاک به عنوان روابط بین هدایت هیدرولوژیکی، رطوبت خاک و بار فشاری آب خاک تعریف می شوند. بخش اصلی مدل شبیه سازی جریان عمودی آب در منطقه اشباع-غیراشباع است که می تواند بوسیله معادله شناخته شده ریچارد توصیف شود((ورما و همکاران^۴). ۲۰۱۳،

$$\frac{\partial \theta}{\partial t} = \frac{\partial}{\partial z} \left[K(\theta) \left(\frac{\partial h}{\partial z} + 1 \right) - S(h) \right] \quad (1)$$

در این رابطه θ : مقدار رطوبت حجمی (cm^3/cm^3), t : زمان(روز)، h : ارتفاع فشار آب خاک(cm), z : افزایش عمق نسبت به سطح زمین(cm), $K(\theta)$: هدایت هیدرولوژیکی (cm/day) و S : نسبت آب جذب شده توسط ریشه گیاه ($\text{cm}^3/\text{cm}^3 \cdot \text{day}$) می باشد. در این تحقیق مدل SWAP از مهندسی معکوس برای تعیین تبخیر و تعرق واقعی استفاده می کند، بدین

روش تحقیق

در این تحقیق از پنج روش و یا بهتر می توان گفت سه نوع مدل مختلف برای تعیین تبخیر و تعرق استفاده شد که از بین این روش ها الگوریتم سبال و مدل SWAP به طور مستقیم تبخیر و تعرق واقعی را برای کل دشت نیشابور محاسبه نمودند. مدل SWAP به کمک داده های هواشناسی و زراعی، تبخیر و تعرق واقعی و رطوبت را برای مزرعه ذرت شبیه سازی می کند. تفاوت این پنج روش در این است که فقط الگوریتم سبال می تواند تبخیر و تعرق واقعی را برای یک منطقه وسیع مانند یک دشت پهنه بندی کند و بقیه روش ها در حد یک نقطه یا مزرعه، تبخیر و تعرق را شبیه سازی و یا محاسبه می نمایند. رطوبت خاک در طی دوران رشد ذرت به کمک رطوبت سنج قرار گرفته شده در خاک در بازه زمانی های مختلف قرائت شده و برای واسنجی و صحبت سنجی داده های رطوبت مدل SWAP مورد استفاده قرار گرفت. بدین ترتیب بعد از صحبت سنجی مدل SWAP و با واسنجی رطوبت خاک براساس معادله بیلان آب می توان به نتایج مدل SWAP و تبخیر و تعرق پتانسیل و واقعی به دست آمده، بیشتر اعتماد ورزید. تبخیر و تعرق پتانسیل به کمک نرم افزار Ref ET از سه روش پنمن مانتبث، هارگریوز سامانی و فاؤ بلانی کریدل که کاربرد فراوانی در مناطق خشک و نیمه خشک دارند محاسبه شد و به کمک ضرایب رشد گیاهی ذرت به تبخیر و تعرق گیاه تبدیل گردید(آلن و همکاران^۱). مقایسه الگوریتم سبال با روش های دیگر تعیین تبخیر و تعرق در روزهای ژولیوسی طی دوره رشد ذرت انجام می گیرد.

2 - Van Dam *et al.*

3- Richards

4- Vermaa *et al.*

1- Alen *et al.*

$$\frac{G}{R_n} = \frac{T_s}{\alpha} \times [0.0032 \times \alpha + 0.0062 \times \alpha^2] \times [1 - 0.978 \times NDVI^4] \quad (4)$$

در این رابطه، $NDVI$: شاخص تفاوت نرمال شده پوشش گیاهی، T_s : دمای سطحی بر حسب درجه سانتی گراد و α : آلبیوی سطحی می‌باشد.

محاسبه شار حرارتی از سمت زمین به طرف هوای مجاور بر اساس پارامترهای متعددی صورت می‌گیرد که نیاز به استفاده از اطلاعات زمینی و داده‌های هواشناسی منطقه می‌باشد. این مرحله از الگوریتم سیال سخت ترین و در عین حال حساس ترین بخش نیز می‌باشد. حساس بودن و لزوم دقت بیشتر در محاسبات بیشتر به تعیین پیکسل سرد و گرم بر می‌گردد. با تعیین این دو پیکسل و بعد از یک سری معادله‌های رفت و برگشتی شار گرمای محسوس پیش‌بینی می‌شود. شار حرارتی محسوس هوا (H) با توجه به معادله زیر قابل پیش‌بینی خواهد بود:

$$H = \frac{\rho_{air} \times C_{air} \times dT}{r_{ah}} \quad (5)$$

در این معادله ρ_{air} : چگالی هوا (کیلو گرم بر متر مکعب)، C_{air} : گرمای ویژه هوا (ژول بر کیلو گرم بر کلوین)، dT : اختلاف دمای بین دو ارتفاع Z_1 و Z_2 (کلوین) و r_{ah} : مقاومت آبرودینامیکی برای انتقال گرما (ثانیه بر متر) می‌باشد.

شار گرمای نهان (λET)، میزان هدر رفت گرما از سطح به علت فرآیند تبخیر و تعرق می‌باشد که با استفاده از معادله (۲) به دست می‌آید. از آنجا که مقادیر شار تابش خالص (R_n)، شار گرمای محسوس (G) و شار گرمای خاک (H) که تاکنون به دست آمده، مقادیر لحظه‌ای و برای زمان گذر ماهواره می‌باشند، مقدار شار گرمای نهان نیز به صورت لحظه‌ای است. شار گرمای نهان، مقداری است که توسط تصاویر ماهواره ای به دست می‌آید. بنابراین مقدار عددی λ باید محاسبه شود تا با تقسیم عدد مربوط در هر پیکسل مقدار ET لحظه‌ای به دست آید. مقدار تبخیر و تعرق واقعی در لحظه گذر ماهواره تبخیر و تعرق لحظه‌ای (ET_{inst}) بر حسب میلی‌متر به صورت زیر به دست می‌آید:

$$ET_{inst} = 3600 \times \frac{\lambda ET}{\lambda} \quad (6)$$

λ : در این رابطه گرمای نهان تبخیر بر حسب ژول بر کیلو گرم و ۳۶۰۰ برای تبدیل زمان می‌باشد. مقدار λ از معادله زیر قابل محاسبه است:

$$\lambda = [2.501 - 0.00236(T_s - 273)] \times 10^6 \quad (7)$$

طریق که ابتدا رطوبت خاک با مدل SWAP شبیه سازی و سپس با استفاده از ۷۰ درصد داده‌های اندازه گیری شده رطوبت خاک، مدل SWAP واسنجی و با استفاده از ۳۰ درصد داده‌های اندازه گیری شده، صحت سنجی داده‌ها انجام می‌شود. در مرحله بعد از تبخیر و تعرق به دست آمده از مدل SWAP به روش مهندسی معکوس برای ارزیابی نتایج مدل سیال استفاده گردید.

الگوریتم توازن انرژی سطحی برای زمین (سیال)
الگوریتم سیال در اکثر نقاط دنیا با اقلیم‌های مختلف، به منظور برآورد تبخیر و تعرق و سایر شارهای گرمایی در سطح، با استفاده از داده‌های سنجش از دور مورد استفاده قرار گرفته است. روش سیال اولین بار به منظور برآورد تبخیر و تعرق در مناطق هموار و نواحی کشاورزی توسط باستیانسن در سال ۱۹۹۸ میلادی ارائه شد (باستیانسن و همکاران، ۱۹۹۸)، که البته به مرور و برای سازگارشدن با مناطق با آب و هوای مختلف و تصاویر ماهواره‌ای متنوع، تغییراتی در آن اتفاق افتاد (باستیانسن و همکاران، ۲۰۰۵). مقدار لحظه‌ای تبخیر و تعرق (λET) برای زمان گذر ماهواره به کمک مقادیر شار تابش خالص (R_n ، شار گرمای محسوس (G) و شار گرمای خاک (H) برای هر پیکسل با توجه به رابطه زیر محاسبه می‌شود:

$$\lambda ET = R_n - G - H \quad (2)$$

شار تابش خالص در سطح زمین با استفاده از تمامی شارهای تابشی ورودی و خروجی از سطح به دست می‌آید. میزان تابش خالص در سطح زمین و اجزای آن از رابطه زیر تعیین می‌گردد:

$$R_n = (1 - \alpha) R_{S\downarrow} + R_{I\downarrow} - R_{I\uparrow} - (1 - \varepsilon_0) R_{I\downarrow} \quad (3)$$

که در این معادله α : آلبیوی سطحی، $R_{S\downarrow}$: تابش موج کوتاه ورودی (۰/۳ تا ۳ میکرومتر) بر حسب وات بر مترمربع، $R_{I\downarrow}$: تابش موج بلند ورودی (۳ تا ۱۰۰ میکرومتر) بر حسب وات بر مترمربع، $R_{I\uparrow}$: تابش موج بلند خروجی بر حسب وات بر مترمربع، ε_0 : گسیلنگی سطحی عریض باند می‌باشد.

شار گرمای خاک پارامتر دومی می‌باشد که امکان اندازه گیری آن به طور مستقیم با باندهای تصاویر ماهواره ای وجود ندارد ولی مطالعات نشان داد که بین پارامترهایی مثل شاخص تفاوت نرمال شده پوشش گیاهی ($NDVI$)، دمای سطح زمین (T_s) و آلبیو شار گرمای محسوس (G) به شار تابش خالص (R_n) را برای نیمه روز با استفاده از معادله تجربی زیر در سال ۲۰۰۰ ارائه کرد (باستیانسن، ۲۰۰۰):

یعقوب زاده و همکاران: مقایسه الگوریتم سیال با مدل SWAP و روش های...

در این رابطه ET_0 : تبخیر و تعرق گیاه مرجع بر حسب میلی متر در روز، T_{min} , T_{max} و T_{mean} : حداقل، حداقل و میانگین دمای روزانه و Ra : حداکثر ممکن تابش خورشید به سطح زمین با توجه به عرض جغرافیایی می باشد. یکی از قدیمی ترین روش های برآورد تبخیر و تعرق پتانسیل، روش بالانی کریدل است. فرمول زیر برای برآورد تبخیر و تعرق پتانسیل با این روش ارائه شده است(علیزاده ۱۳۸۵،):

$$ET_0 = a + b[p(0.46T + 8.13)] \quad (12)$$

در این رابطه نیز p : ضریب مربوط به طول روز یا درصد سالانه تابش آفتاب در ماه که به صورت روزانه توصیف می شود: T : متوسط ماهانه درجه حرارت بر حسب درجه سانتی گراد و a, b : ضرایب اقیمی که به حداقل رطوبت نسبی هوا، نسبت ساعت واقعی آفتاب به حداقل ساعات آفتابی و سرعت باد در روز دارد. رطوبت نسبی هوا توسط دماستخ های تر و خشک و ساعات واقعی آفتاب در طول روز توسط آفتاب نگار اندازه گیری می شود.

شاخص های ارزیابی

به منظور ارزیابی و دقت روش ها در این تحقیق، سه معیار ارزیابی ریشه میانگین مربعات خطأ^۱ (RMSE) و میانگین خطای مطلق^۲ (MAE)، تفاضل نسبی^۳ (RD)، قدر مطلق تفاضل مطلق^۴ (AD) و ضریب تبیین^۵ (R^۲) مورد استفاده قرار گرفت:

$$RMSE = \sqrt{\frac{\sum_{i=1}^n (x_i - x_m)^2}{n}} \quad (13)$$

$$MAE = \frac{\sum_{i=1}^n |x_i - x_m|}{n} \quad (14)$$

$$RD = \left| \frac{x_i - x_m}{x_m} \right| \quad (15)$$

$$AD = x_i - x_m \quad (16)$$

در این روابط، x_i و x_m مقدار بدست آمده از مدل سیال و روش های پنمن مانیتیث و هارگریوز سامانی و n تعداد کل داده ها است. هرچه مقدار شاخص های آماری به صفر نزدیک تر

همچنین می توان تبخیر و تعرق روزانه را می توان با استفاده از کسر تبخیر($ET_r F$) و تبخیر و تعرق گیاه مرجع(ET_r) محاسبه کرد. مقدار تبخیر و تعرق گیاه مرجع براساس داده های ایستگاه هواشناسی و با استفاده از روش پنمن مانیتیث استاندارد محاسبه می گردد:

$$ET_r F = \frac{ET_{inst}}{ET_r} \quad (18)$$

$ET_r F$ مشابه ضریب گیاهی (Kc) بوده و مقدار آن عموماً بین صفر و یک متغیر است به طوری که برای پیکسل کاملاً خشک مقدار کسر تبخیر برابر صفر و در پیکسل سرد برابر یک می باشد. مقادیر منفی برای $ET_r F$ به علت خطاهای سیستماتیک که توسط فرضیه های مختلف سیال وارد می شوند، رخ می دهد(الن و همکاران، ۲۰۰۲،). در روش سیال جهت تبدیل مقادیر لحظه ای تبخیر و تعرق به مقادیر روزانه فرض می شود مقدار کسر تبخیر لحظه ای محاسبه شده از طریق معادله (۸) در طول ۲۴ ساعت شباهه روز تقریباً ثابت است. بنابراین می توان مقدار روزانه تبخیر و تعرق واقعی را با استفاده از کسر تبخیر و تبخیر و تعرق مرجع ۲۴ ساعته در روز تصویر (ET_{r-24}) محاسبه نمود:

$$ET_{24} = ET_r F \times ET_{r-24} \quad (9)$$

روش پنمن مانیتیث به عنوان روش استاندارد برای محاسبه تبخیر تعرق مرجع با استفاده از داده های هواشناسی بیان می شود. همچنین روش پنمن مانیتیث، تنها روش برآورد است که برای اکثر کشورهای با اقلیم خشک و نیمه خشک از جمله ایران پیشنهاد شده است و معادله آن بصورت زیر می باشد(علیزاده ۱۳۸۵،):

$$ET_o = \frac{0.408\Delta(R_n - G) + \gamma \frac{900}{T + 273} \times u_2(e_s - e_a)}{\Delta + \gamma(1 + 0.34u_2)} \quad (10)$$

در این رابطه، T : میانگین دمای روزانه هوا بر حسب درجه سانتی گراد، e_s : فشار بخار اشباع بر حسب کیلوژول، e_a : فشار بخار واقعی بر حسب کیلوژول، $e_s - e_a$: کمبود فشار بخار اشباع، Δ : شب منحنی فشار بخار بر حسب کیلوپاسکال بر درجه سانتی گراد و γ : ضریب ثابت سایکرومتری بر حسب کیلو پاسکال بر درجه سانتی گراد می باشد. روش هارگریوز سامانی نیز یکی دیگر از روش های محاسبه تبخیر و تعرق مرجع می باشد که در سال ۱۹۸۵ میلادی توسط هارگریوز - سامانی ارائه شد (علیزاده ۱۳۸۵،):

$$ET_o = 0.0023(T_{mean} + 17.8)(T_{max} - T_{min})^{0.5} \times Ra \quad (11)$$

1- Root Mean Square Error

2- Mean Absolute Error

3- Relative difference

4- Absoulte difference

کشت بتدریج زیاد می‌شود. شاخص تفاوت نرمال شده پوشش گیاهی (NDVI) در روزهای آخر کشت به دلیل نزدیک شدن به زمان برداشت و زرد شدن گندم، مقدار آن کم می‌شود و از حدود ۰/۳۳۱ در اوج مرحله توسعه گیاهی به حدود ۰/۱۶۷ می‌رسد. با به پایان رسیدن فصل گرم تابستان و رسیدن به روزهای سردتر پاییز از مقادیر شار گرمای خاک (G) و تابش خالص (Rn) کاسته می‌شود.

روزهای ژولیوسی انتخابی در این تحقیق از روز اول تا روز ۹۷ بعد از کشت متغیر هستند. همان طور که در نقشه‌های مربوط به هر یک از روزها نیز مشخص می‌باشد در مناطق کوهستانی دارای دمای سطحی پایین که حاشیه غربی دشت را شامل می‌شوند و مناطق دارای پوشش گیاهی متراکم‌تر که این مرتع نیز در قسمت غرب تا جنوب دشت گسترده شده‌اند، تبخر و تعرق واقعی از بقیه نقاط بیشتر می‌باشد. در بین تصاویر ماهواره‌ای، تصویر روز ۲۰۰ ژولیوسی رفتار مشابه با بقیه روزها را از خود نشان نمی‌دهد که این ممکن است به دلیل داشتن خطاهای تصویر ماهواره در این روز و همچنین اشتباه در یکی از فرآیندهای محاسبه الگوریتم سیال اتفاق افتاده باشد که سبب شده در قسمت های جنوبی تبخر و تعرق بیشتر از واقعیت برآورد شود. به دلیل اینکه الگوریتم سیال نقشه توزیع مکانی تبخر و تعرق را نشان می‌دهد برای مقایسه و ارزیابی این الگوریتم با روش‌های دیگر تعیین تبخر و تعرق از یک نقطه با موقعیت مکانی مشخص (مزرعه ذرت روتای فاروب) استفاده شد شکل (۲).

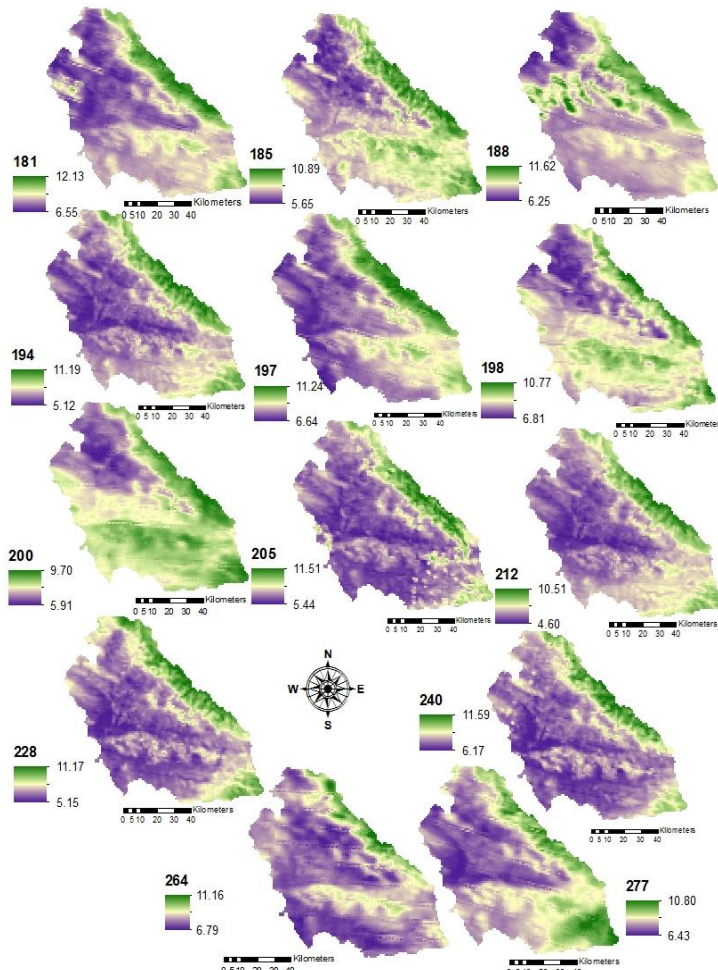
باشند، به این معناست که مقادیر به دست آمده از سیال از میزان خطای کمتری برخوردارند.

نتایج و بحث

همان طور که بیان شد الگوریتم سیال از بخش‌های متفاوتی تشکیل شده است که هر کدام از این بخش‌ها بر روی بخش دیگر تاثیرگذار می‌باشد. نتایج به دست آمده از پارامترهای سیال در جدول (۲) مشخص می‌کند بعضی از پارامترهای الگوریتم سیال رفتار مخالف با یکدیگر از خود نشان می‌دهند مانند دمای سطحی زمین و شاخص تفاوت نرمال شده پوشش گیاهی (NDVI) که در تحقیقات ثانی نزد و همکاران (۱۳۹۰) نیز رفتار مخالف این دو پارامتر با هم به اثبات رسیده است (ثانی نزد و همکاران ۱۳۹۰). با توجه به جدول می‌توان مشاهده کرد در هر روز ژولیوسی نسبت به روز دیگر که دمای سطحی زمین افزایش پیدا کرده است، شاخص پوشش گیاهی عدد با مقدار کمتری را نشان می‌دهد. همچنین پارامترهای دمای سطحی زمین (Ts)، شار گرمای خاک (G) و شار گرمای محسوس (H)، رفتار همسو با یکدیگر و تشبع خالص (RN) رفتار متقابل با این پارامترها را نشان می‌دهد. نتایج مدل سیال نشان می‌دهد که در روزهای اول کشت که در فصل پاییز و زمستان واقع است، دمای سطح زمین (Ts) پایین و در حد ۲۹۰ درجه کلوین هست و در روزهای آخر کشت به مقدار بالای ۳۱۰ درجه می‌رسد. شاخص پوشش گیاهی NDVI و شار گرمای خاک (G) و شار گرمای (Rn) نیز از روز اول کشت به تدریج کم می‌شود و در فصل زمستان به کمترین مقدار خود می‌رسند و در روزهای آخر

جدول ۲-نتایج به دست آمده از الگوریتم سیال در مزرعه ذرت

Ts ($^{\circ}$)	Rn (w/m ²)	NDVI	H (w/m ²)	G (w/m ²)	ET (mm/day)	روز ژولیوسی
۳۱۸/۹۷	۷۵۸/۱۸	۰/۱۴۶	۱۳۶/۵۲	۱۷۸/۴۷	۴/۲۴	۱۸۱
۳۲۳/۲۶	۷۱۰/۱۶	۰/۰۹۵	۱۴۱/۸۹	۱۸۴/۱۱	۴/۲۶۴	۱۸۵
۳۱۰/۸۶	۷۰۷/۲۵	۰/۱۲۰	۱۲۹/۸۲	۱۴۳/۳۹	۴/۵۳۶	۱۸۸
۳۲۵/۹۷	۷۰۴/۰۱	۰/۱۱۵	۱۲۳/۰۸	۱۹۵/۰۱	۶/۹۵	۱۹۴
۳۲۱/۱۱	۷۴۰/۶۱	۰/۱۱۵	۱۲۱/۹۸	۱۸۳/۳۰	۶/۱۳۶	۱۹۷
۳۲۱/۴۷	۶۷۶/۴۷	۰/۰۸۷	۶۵/۰۱	۱۷۵/۰۴	۷/۱۲۴	۱۹۸
۳۱۸/۰۳	۶۸۳/۰۶	۰/۰۹۷	۱۲۸/۳۴	۱۶۴/۹۲	۶/۲۵۴	۲۰۰
۳۲۵/۰۸	۷۰۴/۹۴	۰/۰۸۹	۱۰۵/۷۵	۱۸۹/۸	۶/۱۰۵	۲۰۵
۳۲۵/۱۴	۶۳۶/۹	۰/۱۰۹	۸۳/۸۷	۱۷۴/۴	۶/۰۰	۲۱۲
۳۲۲/۷۰	۷۱۰/۱۲	۰/۰۷۹	۱۳۰/۲۴	۱۸۲/۲۳	۹/۰۷۵	۲۲۸
۳۲۳/۳۸	۶۹۷/۳۰	۰/۰۹۵	۹۹/۵۴	۱۸۶/۲۲	۹/۱۵۲	۲۴۰
۳۱۳/۹۶	۶۳۸/۴۸	۰/۰۹۷	۹۳/۱۲	۱۳۲/۲۳	۸/۶۴۱۵	۲۶۴
۳۱۰/۸۸	۶۲۴/۱۵	۰/۰۹۷	۱۰۹/۲۸	۱۱۴/۵۶	۶/۰۵۷	۲۷۷



شکل ۲- نقشه تبخیر و تعرق واقعی برای روزهای ژولیوسی فصل کشت ذرت در دشت نیشابور

برای اینکه بتوان در مجموع روزهای ژولیوسی بین مدل سبال با سایر روش‌ها مقایسه‌ای انجام گیرد از شاخص‌های آماری ریشه میانگین مربعات خطأ (RMSE)، میانگین خطای مطلق (MAE)، و ضریب تبیین (R^2) استفاده شده است. مقادیر این شاخص‌ها به همراه میانگین تفاضل نسبی که از جدول (۳) به دست می‌آید، در جدول (۴) نشان داده شده است. مقادیر این RMSE برابر ۰/۹۴۷ و MAE برابر ۰/۰۹۰ متر بین مدل سبال و SWAP و مقادیر RMSE و MAE در حدود ۱ و کمتر از آن در مقایسه سبال با مدل‌های محاسباتی تعیین تبخیر و تعرق، همانهنجی و ارتباط نزدیک نتایج مدل سبال با چهار روش دیگر تعیین تبخیر و تعرق بخصوص مدل SWAP را نشان می‌دهد. همچنین همانهنجی ضریب تبیین (R^2) (بالای ۰/۹۱) بین سبال با روش فائق بالانی کریدل، دقت بیشتر نتایج این روش را نسبت به دو روش دیگر تعیین تبخیر و تعرق پتانسیل نشان می‌دهد. سالاریان و همکاران (۱۳۹۳) نیز روش بالانی کریدل را مناسب ترین روش محاسباتی برای مناطق با داده‌های محدود در ماه‌های گرم و سرد سال دانستند که می‌تواند جایگرین روش استاندارد مرجع پنمن مانیث در مناطق خشک و نیمه خشک شود.

جدول (۳) به مقایسه نتایج مدل سبال با چهار روش دیگر به خصوص نتایج حاصل از مدل SWAP پرداخته و تفاضل مطلق و تفاضل نسبی برای هر یک از روزهای ژولیوسی محاسبه شده است. همان طور که در جدول نشان داده شده است وجود اختلاف کم (تفاضل نسبی کمتر از ۰/۰۲۳) بین نتایج سبال با مدل SWAP نشان می‌دهد که تطابق خوبی بین نتایج سبال و مدل SWAP وجود دارد و می‌توان به درستی نتایج سبال اطمینان نمود. در مورد مقایسه مدل سبال با سه روش محاسباتی می‌توان بیان نمود که بین نتایج سبال با روش فائق بالانی کریدل و پنمن مانیث رابطه نزدیکی وجود دارد. مقادیر تفاضل نسبی کمتر از ۰/۲۵۵ بین نتایج سبال با مدل پنمن مانیث و کمتر از ۰/۰۲۲ بین نتایج سبال با مدل بالانی کریدل این همانهنجی را روشن تر مدل سبال با مدل بالانی کریدل این همانهنجی را روشن تر می‌کند. پائل و همکاران (۲۰۰۶) نیز در تحقیق خود اختلاف مطلق ۸/۰ و ضریب همبستگی ۰/۹۴۸ بین روش سبال و پنمن مانیث به عنوان روش استاندارد مرجع بدست آوردن (سینک و همکاران، ۲۰۱۰).

جدول ۳- مقایسه نتایج الگوریتم سبال با روش‌های محاسباتی تعیین تبخیر و تعرق در طی دوره زراعی سال ۲۰۰۸

رُوز ژولیوسی	ضریب رشدگی‌اهی	تفاضل مطلق	تفاضل نسبی				رُوز ژولیوسی	
			بلانی کریدل	هارگریوز	بن من ماتیث	SWAP		
۱۸۱	۰/۴	۰/۲	۰/۰۱	۰/۷۰	۰/۰۹۴	۰/۰۴۹	۰/۰۴	۱/۷۵
۱۸۵	۰/۴۱	۰/۱۶	۰/۰۱	۰/۵۰	۰/۲۱۲	۰/۰۳۷	۰/۰۴	۱/۴۳
۱۸۸	۰/۴۲	۰/۹۰	۰/۰۱	۰/۴۸	۰/۲۵۵	۰/۱۶۶	۰/۰۴	۱/۴۷
۱۹۴	۰/۵	۰/۱۰	۰/۰۱	۰/۷۷	۰/۰۲۸	۰/۰۱۵	۰/۶۵	۲/۰۲
۱۹۷	۰/۵۲	۰/۵۶	۰/۰۷	۰/۶۲	۰/۲۱۳	۰/۰۲۰	۰/۴۲	۲/۳۶
۱۹۸	۰/۵۲	۰/۴۸	۰/۱۱	۰/۹۳	۰/۰۴۲	۰/۰۶۵	۰/۷۳	۳/۴۳
۲۰۰	۰/۵۳	۰/۱۲	۰/۰۳	۰/۷۱	۰/۱۵۱	۰/۱۵۱	۰/۲۱	۲/۶۱
۲۰۵	۰/۵۵	۰/۱۲۱	۰/۰۲	۰/۵۷	۰/۰۳۵	۰/۱۶۵	۰/۱۱	۲/۲۳
۲۱۲	۰/۶	۰/۶۸	۰/۰۵	۰/۴۶	۰/۲	۰/۱۱۵	۰/۳۶	۲/۰۹
۲۲۸	۰/۷۵	۰/۰۱	۰/۲۲	۰/۸۸	۰/۰۴	۰/۰۰۱	۱/۶۵	۴/۲۵
۲۴۰	۰/۸۸	۰/۳۷	۰/۰۱	۰/۴۵	۰/۱۶۸	۰/۱۷۶	۰/۰۹	۲/۱۲
۲۶۴	۰/۱۰۵	۰/۱۳۲	۰/۰۳	۰/۳۷	۰/۰۰۸	۰/۱۸۰	۰/۲۶	۲/۳۴
۲۷۷	۰/۹	۰/۱۱۴	۰/۰۵	۰/۲۵	۰/۱۸۱	۰/۱۶۰	۰/۲۸	۱/۲

جدول ۴- مقایسه الگوریتم سبال با روش‌های تعیین تبخیر و تعرق

آزمون خطای مطلق	آزمون خطای میانگین خطای	آزمون خطای مربعات خطای	آزمون خطای RMSE	آزمون خطای R ²	آزمون خطای ضریب تبیین	آزمون خطای میانگین تفاضل نسبی	آزمون خطای SWAP	پنمن ماتیث	هارگریوز سامانی	فائقو بلانی کریدل
۰/۱۹۲	۰/۲۲	۰/۹۴۷	۰/۹۴۷	۰/۶۷	۰/۷۵	۰/۳۲۳	۰/۰۴۴	۰/۲۹۶	۰/۹۱	۰/۰۴۴
										۰/۵۶۸
										۰/۳

وبالا با روش‌های دیگر تعیین تبخیر و تعرق می‌توان بیان نمود که خطاها نیز وجود دارد که ممکن است به دلیل قدرت تفکیک ۱۰۰۰ متر تصاویر سنجنده مودیس باشد که ایجاب می‌کند در تحقیقات از مزارع وسیع با کشت هماهنگ استفاده شود. تصاویر لندهست دارای قدرت تفکیک ۳۰۰ متر بوده و از این جهت بهتر از تصاویر مودیس می‌باشد ولی بازه زمانی ۱۶ روزه بین تصاویر لندهست و وزانه مودیس، محققان را به استفاده از تصاویر مودیس تشویق می‌نمایند.

در حالت کلی این تحقیق مشخص کرد با کمک سنجش از دور و تصاویر ماهواره‌ای می‌توان پنهان بندی تبخیر و تعرق را در مقیاس بزرگ و مناطق با کمبود داده انجام داد. همچنین از الگوریتم‌های مبتنی بر سنجش از دور مانند سبال می‌توان به عنوان روش مرجع برای ارزیابی و واسنجی کردن مدل‌های هیدرولوژیکی و روش‌های محاسباتی تعیین تبخیر و تعرق استفاده نمود. تبخیر و تعرق به دست آمده می‌تواند در موارد متعددی مانند مطالعات و طرح‌های تخصیص منابع آب، مدیریت مصرف آب و تعیین کاربرد صحیح مصرف آب به کار برد شود.

نتیجه گیری

الگوریتم‌ها و روش‌های مختلفی برای تعیین تبخیر و تعرق ارائه شده اند که از این میان، الگوریتم‌های بر پایه سنجش از دور و تصاویر ماهواره‌ای روز به روز گسترش یافته‌اند و صحت نتایج این روش‌ها در بیشتر موارد به تأیید رسیده است. در این تحقیق نیز سعی شد نتایج حاصل از الگوریتم سبال با مدل هیدرولوژیکی SWAP و سه روش محاسباتی پنمن ماتیث، هارگریوز سامانی و فائقو بلانی کریدل ارزیابی شود. به دلیل فقدان داده‌های اندازه‌گیری مستقیم تبخیر و تعرق، مدل SWAP با استفاده از داده‌های اندازه‌گیری شده رطوبت خاک واسنجی شد و با SWAP تبخیر و تعرق به دست آمده از مدل واسنجی شده با SWAP برابر نتایج مدل سبال مقایسه گردید. وجود مقادیر RMSE برابر ۰/۹۴۷ MAE برابر ۰/۲۲ و میانگین تفاضل نسبی ۰/۱۹۲ نشان دهنده نزدیکی نتایج مدل سبال با مدل واسنجی شده سوال است. در بین روش‌های محاسباتی نیز فائقو بلانی کریدل نتایج رضایت‌بخش تری نسبت به دو روش محاسباتی پنمن ماتیث و هارگریوز سامانی داشت. با وجود همبستگی بالای مدل

یعقوب زاده و همکاران: مقایسه الگوریتم سبال با مدل SWAP و روش های...

منابع

- ۱-ثنایی نژاد، س.ح، نوری، س، و س.م. هاشمی نیا. ۱۳۹۰. برآورد تبخیر و تعرق واقعی با استفاده از تصاویر ماهواره ای در منطقه مشهد. آب و خاک. ۲۵(۳): ۵۴۰-۵۴۷
- ۲- سالاریان، م. نجفی، م. داوری، ک. اسلامیان، س. س. و م. حیدری. ۱۳۹۳. مناسب ترین روش برآورد تبخیر و تعرق پتانسیل در شرایط کمبود آب هواشناسی در ماه های گرم و سرد سال(مطالعه موردی شهرستان اصفهان). مجله آبیاری و زهکشی ایران. ۱(۸): ۶۲-۷۳
- ۳-علیزاده، ا. ۱۳۸۵. رابطه آب و خاک و گیاه، دانشگاه امام رضا(ع). انتشارات آستان قدس رضوی. ۶: ۳۱۹-۳۲۵
- ۴- قمرنیا، م. و س. رضوانی. ۱۳۹۳. محاسبه و پنهانی بندی تبخیر-تعرق با استفاده از الگوریتم سبال(SEBAL) در غرب ایران(دشت میان دربند). مجله آب و خاک. ۱(۲۸): ۷۲-۸۱
- ۵- محمدی، س. میرلطیفی، س. م. و م. اکبری. ۱۳۹۳. برنامه ریزی آبیاری نیشکر با استفاده از تلفیق داده های سنجش از دور و مدل SWAP در کشت و صنعت نیشکر مرزاکوچک خان خوزستان. مجله پژوهش آب در کشاورزی. ۱(۲۸): ۳۹-۵۰

- 6-Allen, R. G. Tasumi, M. Trezza, R. Waters, R. and W. G. M. Bastiaanssen. 2002. Surface Energy Balance Algorithm for Land (SEBAL)-Advanced Training and User's Manual, University of Idaho: Kimberly. ID. USA.
- 7-Bastiaanssen, W.G.M. 2000. SEBAL-based sensible and latent heat fluxes in the irrigated Gediz Basin,Turkey. Journal of Hydrology. 229: 87-100.
- 8-Bastiaanssen, W.G.M. Menenti, M. Feddes, R. A. and A. A. M. Holtslag. 1998. A remote sensing surface energy balance algorithm for land (SEBAL), part 1: formulation. Journal of Hydrology. 212-213:198-212.
- 9-Bastiaanssen, W.G.M., Noordman, E.J.M., Pelgrum, H. David, G. Thoreson, B.P. and R.G. Allen. 2005. SEBAL model with remotely sensed data to improve water resources management under actual field conditions. Journal of Irrigation Drainage Engeenering. 131: 85-93.
- 10-Charoenhirunyingyo, S., Kiyoshi Honda, K., Kamthonkiatb, D. and Ines, A.V.M. 2011. Soil moisture estimation from inverse modeling using multiple criteria functions. Computers and Electronics in Agriculture. 75: 278-287.
- 11-Droogers, P. and W. Bastiaanssen. 2002. Irrigation Performance using Hydrological and Remote Sensing Modeling. Journal of Irrigation and Drainage Engineering. 128(1): 11-18.
- 12-Droogers, P. Bastiaanssen, W. G. M. Beyazgul, M. Kayamb, Y. Kite, G. W. and H. Murray-Rust. 2000. Distributed agro-hydrological modeling of an irrigation system in western Turkey. Agricultural Water Management. 43: 183-202.
- 13-Droogers, P. Immerzeela, W. W and I. J. Lorite. 2010. Estimating actual irrigation application by remotely sensed evapotranspiration observations. Agricultural Water Management. 97: 1351-1359.
- 14-Irmak, A. and K. Baburao. 2009. Evapotranspiration data assimilation with genetic algorithms and SWAP model for on-demand irrigation. Irrigation Science. 28: 101-112.
- 16-Minacapilli, M. Agnese, C. Blanda, F. Cammalleri, C. Ciraolo, G. D'Urso, G. Iovino, M. Pumo, D. Provenzano, G. and G. Rallo. 2009. Estimation of actual evapotranspiration of Mediterranean perennial crops by means of remote-sensing based surface energy balance Models. Hydrology and Earth System Sciences. 13: 1061-1074.
- 17-Palladinoa, M. Staianob, A. D'Ursoa G. Minacapillic, M. and G. Ralloc. 2013. Mass and surface energy balance approaches for monitoring water stress in vineyards. Procedia Environmental Sciences 19:231-238.

- 18-Patel, N. R. Rakhesh, D. and A. J. Mohammad. 2006. Mapping of regional evapotranspiration in wheat using Terra/MODIS satellite data. *Hydrological Sciences Journal*. 51(2): 325-335.
- 19-Singh, U.K., Ren L., and Kang S. 2010. Simulation of soil water in space and time using an agro hydrological model and remote sensing techniques, *Agricultural Water Management*, 97 (8): 1210-1220.
- 20-Terink, W. Droogers, P. Van Dam, J. Simons, G. Voogt, M. and A. Ines. 2013. Satellite Based Data Mining to Support Egypt's Agriculture. *Industrial Conference on Data Mining –Workshops*. page 171-180.
- 21-Van Dam, J. C. Huygen, J. Wesseling, J. G. Feddes, R. A. Kabat, P. and P. E. V. Walsum. 1997. Simulation of transport processes in the Soil-Water-Air-Plant environment. *SWAP User's Manual*. DLO-Winand Staring Centre. Wageningen. Netherlands.
- 22-Vermaa, A. K. Guptab, S. K. and R. K. Isaac. 2012. Use of saline water for irrigation in monsoon climate and deep water table regions: Simulation modeling with SWAP. *Agricultural Water Management*. 115: 186–193.